

# Interakce stlačitelného proudění a profilu

Jan Česenek, Miloslav Feistauer

Matematicko-fyzikální fakulta, UK v Praze

# Osnova

- Systém Navier-Stokesových rovnic
- Diskretizace
- Interakce
- Numerické experimenty
- Závěr

# Systém Navier-Stokesových rovnic

Uvažujme stlačitelné vazké proudění v omezené oblasti  $\Omega(t) \subset \mathbb{R}^2$   
kde

- $(0, T)$  je časový interval
- $\Omega(t)$  oblast vyplněna vzduchem v čase  $t$ .

Hranice oblasti  $\Omega(t)$  se skládá ze tří různých částí

$$\partial\Omega(t) = \Gamma_I \cup \Gamma_O \cup \Gamma_W(t) \text{ kde}$$

- $\Gamma_I$  = Vstup
- $\Gamma_O$  = Výstup
- $\Gamma_W(t)$  = Nepropustná stěna

# System Navier-Stokesovych rovnic

2D systém Navier-Stokesových rovnic

$$\begin{aligned}\frac{\partial \mathbf{w}}{\partial t} + \sum_{s=1}^2 \frac{\partial \mathbf{f}_s(\mathbf{w})}{\partial x_s} &= \sum_{s=1}^2 \frac{\partial \mathbf{R}_s(\mathbf{w}, \nabla \mathbf{w})}{\partial x_s} \\ \mathbf{w}(x, 0) &= \mathbf{w}^0(x) \quad x \in \Omega(0)\end{aligned}$$

- $\mathbf{w} = (w_1, w_2, w_3, w_4)^T = (\rho, \rho v_1, \rho v_2, E)^T \in \mathbb{R}^4$
  - $\mathbf{w}^0(x)$  = počáteční podmínka
- $\mathbf{v} = (v_1, v_2)$  - rychlosť,  $\rho$  - hustota,  $p$  - tlak,  $E$  - celková energie.

# Systém Navier-Stokesových rovnic

- Nevazké členy  $\mathbf{f}_s(\mathbf{w})$

$$\mathbf{f}_s(\mathbf{w}) = (\rho v_s, \rho v_1 v_s + \delta_{1s} p, \rho v_2 v_s + \delta_{2s} p, (E + p) v_s)^T$$

- Vazké členy  $\mathbf{R}_s(\mathbf{w}, \nabla \mathbf{w})$

$$\mathbf{R}_s(\mathbf{w}, \nabla \mathbf{w}) = \left( 0, \tau_{1s}^V, \tau_{2s}^V, \tau_{1s}^V v_1 + \tau_{2s}^V v_2 + \frac{\gamma}{Re \ Pr} \frac{\partial \theta}{\partial x_s} \right)^T,$$

kde       $\tau_{rs}^V = \frac{1}{Re} \left\{ \left( \frac{\partial v_r}{\partial x_s} + \frac{\partial v_s}{\partial x_r} \right) - \frac{2}{3} \operatorname{div} \mathbf{v} \delta_{ij} \right\}$

- K systému rovnic přidáváme termodynamické vztahy:

$$p = (\gamma - 1) \left( E - \frac{1}{2} \rho |\mathbf{v}|^2 \right), \quad E = c_V \rho \theta + \frac{1}{2} \rho |\mathbf{v}|^2$$

# Systém Navier-Stokesových rovnic

- Nevazké členy  $\mathbf{f}_s$  jsou homogenní

$$\mathbf{f}_s(\alpha \mathbf{w}) = \alpha \mathbf{f}_s(\mathbf{w})$$

Potom

$$\mathbf{f}_s(\mathbf{w}) = \mathbf{A}_s(\mathbf{w})\mathbf{w},$$

kde

$$\mathbf{A}_s = \frac{D\mathbf{f}_s(\mathbf{w})}{D\mathbf{w}}, \quad s = 1, 2.$$

- Vazké členy  $\mathbf{R}_s(\mathbf{w}, \nabla \mathbf{w})$

$$\mathbf{R}_s(\mathbf{w}, \nabla \mathbf{w}) = \sum_{k=1}^2 \mathbf{K}_{s,k}(\mathbf{w}) \frac{\partial \mathbf{w}}{\partial x_k}$$

# ALE-zobrazení

Z důvodu časové závislosti oblasti  $\Omega(t)$  definujeme tzv.  
ALE-zobrazení:  $\mathcal{A}_t$

$$\mathcal{A}_t : \overline{\Omega}(0) \rightarrow \overline{\Omega}(t), \quad t \in [0, T],$$

- $\tilde{\mathbf{z}}(\mathbf{X}, t) = \frac{\partial \mathcal{A}_t(\mathbf{X})}{\partial t}$  ALE-rychlosť v referenčném bodě  $\mathbf{X} \in \Omega(0)$
- $\mathbf{z}(x, t) = \tilde{\mathbf{z}}(\mathcal{A}_t^{-1}(x), t)$  ALE-rychlosť v bodě  $x \in \Omega(t)$

# ALE-zobrazení

Definujeme ALE-derivaci funkce  $\mathbf{w}$  v bodě  $x = \mathcal{A}_t(\mathbf{X})$   $t \in (0, T)$

$$\frac{D^{\mathcal{A}}\mathbf{w}(x, t)}{Dt} = \frac{\partial}{\partial t}\mathbf{w}(\mathcal{A}_t(\mathbf{X}), t)$$

Lze ukázat, že

$$\begin{aligned}\frac{\partial \mathbf{w}}{\partial t} &= \frac{D^{\mathcal{A}}\mathbf{w}}{Dt} - (\mathbf{z} \cdot \nabla)\mathbf{w} \\ &= \frac{D^{\mathcal{A}}\mathbf{w}}{Dt} + \mathbf{w} \operatorname{div}(\mathbf{z}) - \operatorname{div}(\mathbf{w} \otimes \mathbf{z})\end{aligned}$$

# ALE-zobrazení

- Formulace Navier-Stokesových rovnic pomocí ALE-zobrazení

$$\frac{D^{\mathcal{A}} \mathbf{w}}{Dt} + \sum_{s=1}^2 \frac{\partial \mathbf{g}_s(\mathbf{w})}{\partial x_s} + \mathbf{w} \operatorname{div}(\mathbf{z}) = \sum_{s=1}^2 \frac{\partial \mathbf{R}_s(\mathbf{w}, \nabla \mathbf{w})}{\partial x_s}$$

kde  $\mathbf{g}_s(\mathbf{w}) = \mathbf{f}_s(\mathbf{w}) - z_s \mathbf{w}$ ,  $s = 1, 2.$

# Diskretizace - Triangulace

- $\Omega_h(t)$  polygonální aproximace oblasti  $\Omega(t)$
- $\mathcal{T}_h(t) = \{K_i\}_{i \in I(t)}$  je triangulace oblasti  $\Omega_h(t)$  skládající se z trojúhelníků  $K_i$ , kde  $K_i^\circ \cap K_j^\circ = \emptyset$  pro  $i \neq j$
- $\Gamma_{ij} = \Gamma_{ji}$  je bud' společná hrana sousedících elementů  $K_i$  a  $K_j$  nebo  $\Gamma_{ij} \subset \partial\Omega_h(t)$  kde  $\Gamma_{ij}$  je hrana  $K_i$  and  $j \in \gamma(t)$  (indexová množina hran na hranici oblasti),  $\gamma(t) = \gamma_D(t) \cup \gamma_N(t)$
- indexová množina  $s(i)(t) = \{j \in I(t); K_j$  je soused  $K_i\}$
- $\mathbf{n}_{ij} = ((n_{ij})_1, (n_{ij})_2)$  vnější jednotková normála k  $\partial K_i$  na hraně  $\Gamma_{ij}$

# Diskretizace

Přibližné řešení budeme hledat v prostoru:

$$\mathbf{S}_h(t) = (S_h(t))^4, \quad \text{kde } S_h(t) = \{v; v|_K \in P^r(K), \forall K \in \mathcal{T}_h(t)\}$$

Předpokládáme, že  $r \geq 0$  a  $P^r(K)$  je prostor polynomů stupně nejvýše  $r$  na  $K$ .

- $v|_{\Gamma_{ij}}$  je stopa  $v|_K$  na hraně  $\Gamma_{ij}$
- skok:  $[v]_{\Gamma_{ij}} = v|_{\Gamma_{ij}} - v|_{\Gamma_{ji}}$
- průměr:  $\langle v \rangle_{\Gamma_{ij}} = \frac{1}{2} (v|_{\Gamma_{ij}} + v|_{\Gamma_{ji}})$ .

# Diskretizace

Diskretizace problému. Zvolíme libovolné  $t \in (0, T)$

- násobíme systém testovací funkcí  $\varphi_h \in \mathbf{S}_h(t)$
- integrujeme přes  $K_i$
- aplikujeme Greenovu větu na  $K_i$
- a sečteme přes všechna  $i \in I(t)$

# Diskretizace - Nevazké členy

- Nevazké členy násobíme  $\varphi_h \in \mathbf{S}_h$  a použijeme Greenovu větu

$$\begin{aligned}\tilde{b}_h(\mathbf{w}, \varphi_h) = & - \sum_{i \in I(t)} \int_{K_i} \sum_{s=1}^2 \mathbf{g}_s(\mathbf{w}) \frac{\partial \varphi_h}{\partial x_s} \, dx \\ & + \sum_{i \in I(t)} \sum_{j \in S(i)(t)} \int_{\Gamma_{ij}} \sum_{s=1}^2 \mathbf{g}_s(\mathbf{w}) (n_{ij})_s \, dS\end{aligned}$$

- Nevazké členy na  $\Gamma_{ij}$  approximujeme tzv. numerickým tokem  $\mathbf{H}_{\mathbf{g}}$

$$\int_{\Gamma_{ij}} \sum_{s=1}^2 \mathbf{g}_s(\mathbf{w}) (n_{ij})_s \, dS \approx \int_{\Gamma_{ij}} \mathbf{H}_{\mathbf{g}}(\mathbf{w}|_{\Gamma_{ij}}, \mathbf{w}|_{\Gamma_{ji}}, \mathbf{n}_{ij})$$

# Diskretizace - Vazké členy

$$\begin{aligned}\tilde{a}_h(\mathbf{w}, \varphi_h) = & - \sum_{i \in I(t)} \int_{\mathbf{K}_i} \sum_{s=1}^2 \sum_{k=1}^2 K_{s,k}(\mathbf{w}) \frac{\partial \mathbf{w}}{\partial x_k} \cdot \frac{\partial \varphi_h}{\partial x_s} \, dx \\ & + \sum_{i \in I(t)} \sum_{\substack{j \in s(t)(i) \\ j < i}} \int_{\Gamma_{ij}} \sum_{s=1}^2 \left\langle \sum_{k=1}^2 K_{s,k}(\mathbf{w}) \frac{\partial \mathbf{w}}{\partial x_k} \right\rangle (n_{ij})_s \cdot [\varphi_h] \, dS \\ & + \sum_{i \in I(t)} \sum_{j \in \gamma_D(i)(t)} \int_{\Gamma_{ij}} \sum_{s=1}^2 \sum_{k=1}^2 K_{s,k}(\mathbf{w}) \frac{\partial \mathbf{w}}{\partial x_k} (n_{ij})_s \cdot \varphi_h \, dS \\ & + \Theta \sum_{i \in I(t)} \sum_{\substack{j \in s(t)(i) \\ j < i}} \int_{\Gamma_{ij}} \sum_{s=1}^2 \left\langle \sum_{k=1}^2 K_{k,s}^T(\mathbf{w}) \frac{\partial \varphi_h}{\partial x_k} \right\rangle (n_{ij})_s \cdot [\mathbf{w}] \, dS \\ & + \Theta \sum_{i \in I(t)} \sum_{j \in \gamma_D(i)(t)} \int_{\Gamma_{ij}} \sum_{s=1}^2 \sum_{k=1}^2 K_{k,s}^T(\mathbf{w}) \frac{\partial \varphi_h}{\partial x_k} (n_{ij})_s \cdot \mathbf{w} \, dS\end{aligned}$$

- $\Theta = 1$  pro SIPG,  $\Theta = -1$  pro NIPG,  $\Theta = 0$  pro IIPG

# Diskretizace - Penalizační člen

$$\begin{aligned} J_h^\sigma(\mathbf{w}, \varphi_h) &= \sum_{i \in I(t)} \sum_{\substack{j \in s(t)(i) \\ j < i}} \int_{\Gamma_{ij}} \sigma[\mathbf{w}] \cdot [\varphi_h] \, dS \\ &\quad + \sum_{i \in I(t)} \sum_{j \in \gamma_D(i)(t)} \int_{\Gamma_{ij}} \sigma \mathbf{w} \cdot \varphi_h \, dS \end{aligned}$$

- $\sigma|_{\Gamma_{ij}} = \frac{C_W}{h(\Gamma_{ij}) Re}$ , kde  $C_W > 0$  je vhodná konstanta.

## Diskretizace - Pravá strana

$$\begin{aligned}\tilde{l}_h(\mathbf{w}, \varphi_h) &= \Theta \sum_{i \in I(t)} \sum_{j \in \gamma_D(i)(t)} \int_{\Gamma_{ij}} \sum_{s=1}^2 \sum_{k=1}^2 K_{k,s}^T(\mathbf{w}) \frac{\partial \varphi_h}{\partial x_k}(n_{ij})_s \cdot \mathbf{w}_B \, dS \\ &\quad + \sum_{i \in I(t)} \sum_{j \in \gamma_D(i)(t)} \int_{\Gamma_{ij}} \sigma \mathbf{w}_B \cdot \varphi_h \, dS\end{aligned}$$

- kde  $\mathbf{w}_B$  je stav definovaný pomocí Dirichletových okrajových podmínek a extrapolace.

# Diskretizace

Přibližné řešení je definováno jako funkce  $\mathbf{w}_h(t) \in \mathbf{S}_h(t)$  splňující pro libovolné  $t \in (0, T)$

$$\begin{aligned} & \left( \frac{D^{\mathcal{A}} \mathbf{w}_h(t)}{Dt}, \varphi_h \right) - ((\mathbf{z}(t) \cdot \nabla) \mathbf{w}_h(t), \varphi_h) + b_h(\mathbf{w}_h(t), \varphi_h) \\ & + \tilde{a}_h(\mathbf{w}_h(t), \varphi_h) + J_h^\sigma(\mathbf{w}_h(t), \varphi_h) \\ = & \quad \tilde{I}_h(\varphi_h) \quad \forall \varphi_h \in \mathbf{S}_h(t), \quad t \in (0, T) \\ & \mathbf{w}_h(0) = \mathbf{w}_h^0. \end{aligned}$$

- $\mathbf{w}_h^0$  je  $\mathbf{S}_h(0)$ -aproximace  $\mathbf{w}^0$ :

$$(\mathbf{w}_h^0, \varphi_h) = (\mathbf{w}^0, \varphi_h) \quad \forall \varphi_h \in \mathbf{S}_h(0).$$

# Časová diskretizace

Nechť  $0 = t_0 < t_1 < \dots < t_M$  je dělení časového intervalu  $[0, T]$ ,  
 $t_k = k\tau, \tau > 0$ .

Aproximujeme ALE-derivaci za použití zpětné Eulerovy diference.

$$\left( \frac{D^{\mathcal{A}} \mathbf{w}_h(x, t)}{Dt}, \varphi_h \right) |_{t_{k+1}} \approx \left( \frac{\mathbf{w}(x, t_{k+1}) - \hat{\mathbf{w}}_h^k(x)}{\tau}, \varphi_h \right)$$

kde

$$\hat{\mathbf{w}}_h^j(x) = \mathbf{w}_h(\mathcal{A}_{t_j}(\mathcal{A}_{t_{k+1}}^{-1}(x)), t_j), \quad x \in \Omega_h(t_{k+1}).$$

# Linearizace - Nevazké členy

Linearizace členu  $\tilde{b}_h(\mathbf{w}, \varphi_h)$ . Využíváme homogenity  $\mathbf{f}_s$

$$\begin{aligned} & - \sum_{i \in I(t)} \int_{K_i} \sum_{s=1}^2 \mathbf{g}_s(\mathbf{w}) \frac{\partial \varphi_h}{\partial x_s} \, dx \\ & \approx \sigma_1 := - \sum_{i \in I(t_{k+1})} \int_{K_i} \sum_{s=1}^2 \left( \mathbf{A}_s(\hat{\mathbf{w}}_h^k) - z_s \mathbf{I} \right) \mathbf{w}_h^{k+1} \cdot \frac{\partial \varphi_h}{\partial x_s} \, dx \end{aligned}$$

# Linearizace - Nevazké členy

Linearizace numerického toku  $\mathbf{H}_g$ . Definujeme

$$\mathbf{P}(\mathbf{w}, \mathbf{n}) := \sum_{s=1}^2 (\mathbf{A}_s(\mathbf{w}) - z_s \mathbf{I}) n_s, \quad \mathbf{n} = (n_1, n_2), n_1^2 + n_2^2 = 1$$

- $\mathbf{P}(\mathbf{w}, \mathbf{n})$  je diagonalizovatelná ( $\mathbf{P} = \mathbf{TDT}^{-1}$ )
- $\mathbf{D} = diag(\lambda_1, \dots, \lambda_4)$
- $\mathbf{D}^\pm = diag(\lambda_1^\pm, \dots, \lambda_4^\pm)$ , kde  $\lambda^+ = max(0, \lambda)$ ,  $\lambda^- = min(0, \lambda)$
- $\mathbf{P}^\pm = \mathbf{T}\mathbf{D}^\pm\mathbf{T}^{-1}$

# Linearizace - Nevazké členy

Pro linearizaci volíme tzv. Vijayasundaram numerický tok definován

$$\begin{aligned}\mathbf{H}_V(\mathbf{w}_1, \mathbf{w}_2, \mathbf{n}) &= \mathbf{P}^+ \left( \frac{\mathbf{w}_1 + \mathbf{w}_2}{2}, \mathbf{n} \right) \mathbf{w}_1 \\ &+ \mathbf{P}^- \left( \frac{\mathbf{w}_1 + \mathbf{w}_2}{2}, \mathbf{n} \right) \mathbf{w}_2.\end{aligned}$$

- Lipschitzovsky spojité
- konzistentní:  $\mathbf{H}_V(\mathbf{w}_1, \mathbf{w}_1, \mathbf{n}) = \sum_{s=1}^2 \mathbf{g}_s(\mathbf{w}_1) n_s \mathbf{w}_1$
- konzervativní:  $\mathbf{H}_V(\mathbf{w}_1, \mathbf{w}_2, \mathbf{n}) = -\mathbf{H}_V(\mathbf{w}_2, \mathbf{w}_1, -\mathbf{n})$

# Linearizace - Nevazké členy

$$\sum_{i \in I(t)} \sum_{j \in S(i)(t)} \int_{\Gamma_{ij}} \sum_{s=1}^2 g_s(\mathbf{w})(n_{ij})_s \, dS \approx$$
$$\sigma_2 := \sum_{i \in I(t)} \sum_{j \in S(i)(t_{k+1})} \int_{\Gamma_{ij}} \mathbf{P}^+ \left( \frac{\hat{\mathbf{w}}_h^k|_{\Gamma_{ij}} + \hat{\mathbf{w}}_h^k|_{\Gamma_{ji}}}{2}, \mathbf{n}_{ij} \right) \mathbf{w}_h^{k+1}|_{\Gamma_{ij}} \cdot \varphi_h \, dS$$
$$+ \sum_{i \in I(t)} \sum_{j \in S(i)(t_{k+1})} \int_{\Gamma_{ij}} \mathbf{P}^- \left( \frac{\hat{\mathbf{w}}_h^k|_{\Gamma_{ij}} + \hat{\mathbf{w}}_h^k|_{\Gamma_{ji}}}{2}, \mathbf{n}_{ij} \right) \mathbf{w}_h^{k+1}|_{\Gamma_{ji}} \cdot \varphi_h \, dS$$

Potom definujeme formu

$$\mathbf{b}_h(\hat{\mathbf{w}}_h^k, \mathbf{w}_h^{k+1}, \varphi_h) = \sigma_1 + \sigma_2$$

# Linearizace - Vazké členy

$$\begin{aligned} a_h(\hat{\mathbf{w}}_h^k, \mathbf{w}_h^{k+1} \varphi_h) = & - \sum_{i \in I(t)} \int_{\mathbf{K}_i} \sum_{s=1}^2 \sum_{k=1}^2 K_{s,k}(\hat{\mathbf{w}}_h^k) \frac{\partial \mathbf{w}_h^{k+1}}{\partial x_k} \cdot \frac{\partial \varphi_h}{\partial x_s} \, dx \\ + & \sum_{i \in I(t)} \sum_{\substack{j \in s(t)(i) \\ j < i}} \int_{\Gamma_{ij}} \sum_{s=1}^2 \left\langle \sum_{k=1}^2 K_{s,k}(\hat{\mathbf{w}}_h^k) \frac{\partial \mathbf{w}_h^{k+1}}{\partial x_k} \right\rangle (n_{ij})_s \cdot [\varphi_h] \, dS \\ + & \sum_{i \in I(t)} \sum_{j \in \gamma_D(i)(t)} \int_{\Gamma_{ij}} \sum_{s=1}^2 \sum_{k=1}^2 K_{s,k}(\hat{\mathbf{w}}_h^k) \frac{\partial \mathbf{w}_h^{k+1}}{\partial x_k} (n_{ij})_s \cdot \varphi_h \, dS \\ + & \Theta \sum_{i \in I(t)} \sum_{\substack{j \in s(t)(i) \\ j < i}} \int_{\Gamma_{ij}} \sum_{s=1}^2 \left\langle \sum_{k=1}^2 K_{k,s}^T(\hat{\mathbf{w}}_h^k) \frac{\partial \varphi_h}{\partial x_k} \right\rangle (n_{ij})_s \cdot [\mathbf{w}_h^{k+1}] \, dS \\ + & \Theta \sum_{i \in I(t)} \sum_{j \in \gamma_D(i)(t)} \int_{\Gamma_{ij}} \sum_{s=1}^2 \sum_{k=1}^2 K_{k,s}^T(\hat{\mathbf{w}}_h^k) \frac{\partial \varphi_h}{\partial x_k} (n_{ij})_s \cdot \mathbf{w}_h^{k+1} \, dS \end{aligned}$$

# Linearizace - Pravá strana

Linearizace pravé strany.

$$\begin{aligned} & I_h(\hat{\mathbf{w}}_h^k, \varphi_h) \\ &= \Theta \sum_{i \in I(t)} \sum_{j \in \gamma_D(i)(t)} \int_{\Gamma_{ij}} \sum_{s=1}^2 \sum_{k=1}^2 K_{k,s}^T(\hat{\mathbf{w}}_h^k) \frac{\partial \varphi_h}{\partial x_k} (n_{ij})_s \cdot \mathbf{w}_B^{k+1} \, dS \\ &+ \sum_{i \in I(t)} \sum_{j \in \gamma_D(i)(t)} \int_{\Gamma_{ij}} \frac{C_w}{h(\Gamma_{ij}) Re} \mathbf{w}_B^{k+1} \cdot \varphi_h \, dS \end{aligned}$$

# Diskretizace

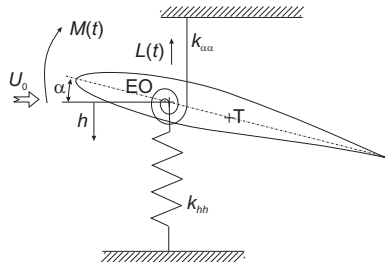
Přibližné řešení v čase  $t_{k+1}$  definujeme

$$\begin{aligned} \mathbf{w}_h^{k+1} &\in \mathbf{S}_h(t_{k+1}) \\ \left( \frac{\mathbf{w}_h^{k+1} - \hat{\mathbf{w}}_h^k}{\tau}, \varphi_h \right) - \left( (\mathbf{z}(t_{k+1}) \cdot \nabla) \mathbf{w}_h^{k+1}, \varphi_h \right) \\ &+ b_h(\hat{\mathbf{w}}_h^k, \mathbf{w}_h^{k+1}, \varphi_h) + a_h(\hat{\mathbf{w}}_h^k, \mathbf{w}_h^{k+1}, \varphi_h) + J_h^\sigma(\mathbf{w}_h^{k+1}, \varphi_h) \\ = I_h(\hat{\mathbf{w}}_h^k, \varphi_h) \quad \forall \varphi_h &\in \mathbf{S}_h(t_{k+1}), \end{aligned}$$

# Interakce

Budeme simulovat nasledující situaci profilu s dvěma stupni volnosti

- $h$  vertikální posun elastické osy
- $\alpha$  úhel rotace kolem elastické osy



# Interakce

Pohyb profilu je popsán systémem obyčejných diferenciálních rovnic

$$\begin{aligned} m\ddot{h} + k_{hh}h + S_\alpha \ddot{\alpha} + d_{hh}\dot{h} &= -L(t) \\ S_\alpha \ddot{h} + I_\alpha h + k_{\alpha\alpha} \ddot{\alpha} + d_{\alpha\alpha}\dot{\alpha} &= M(t) \end{aligned}$$

- $m$  hmotnost profilu
- $S_\alpha$  statický moment vzhledem k elastické ose
- $I_\alpha$  moment setrvačnosti vzhledem k elastické ose
- $k_{hh}$  tuhost v posunutí
- $k_{\alpha\alpha}$  tuhost v torzi
- $d_{hh}$  strukturální tlumení v ohybu
- $d_{\alpha\alpha}$  strukturální tlumení v torzi

# Interakce

- Vztlaková síla

$$L(t) = -I \int_{\Gamma_{W(t)}} \sum_{j=1}^2 \tau_{2j} n_j \, dS$$

- Moment otáčení

$$M(t) = I \int_{\Gamma_{W(t)}} \sum_{i,j=1}^2 \tau_{ij} n_j (-1)^i \left( x_{1+\delta_{1i}} - x_{1+\delta_{1i}}^{EO} \right) \, dS$$

kde

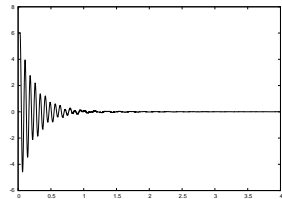
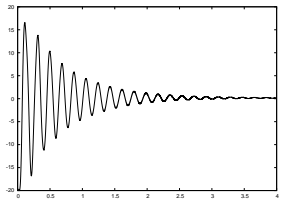
$$\tau_{ij} = -\delta_{ij} p + \mu \left\{ \left( \frac{\partial v_i}{\partial x_j} + \frac{\partial v_j}{\partial x_i} \right) - \frac{2}{3} \operatorname{div} \mathbf{v} \delta_{ij} \right\}$$

# Numerické experimenty

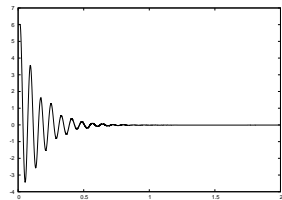
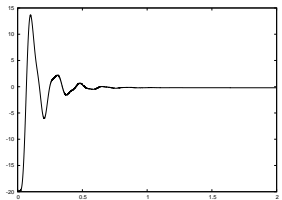
Numerický experiment s nasledujícími parametry

- Počáteční výchylka ve vertikálním směru  $h_0 = -20 \text{ mm}$
- Počáteční úhel otočení  $\alpha_0 = 6^\circ$
- Délka profilu  $L = 0.3$

# Numerické experimenty

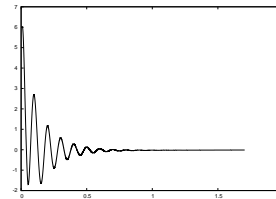
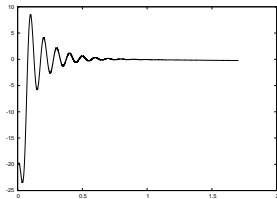


$v=10 \text{ m/s}$        $t \in [0, 4]$

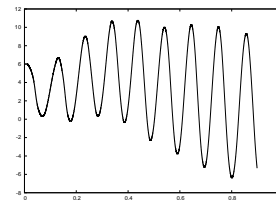
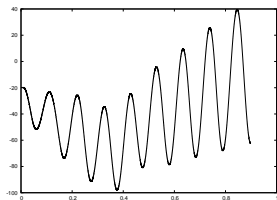


$v=20 \text{ m/s}$        $t \in [0, 2]$

# Numerické experimenty



$v=30 \text{ m/s}$      $t \in [0, 2]$



$v=40 \text{ m/s}$      $t \in [0, 1]$

# Řešení-tlak

# Triangulace

# Závěr

- DGFEM s ALE-zobrazení = robustní metoda pro řešení stlačitelného vazkého proudění v časově závislých oblastech

Náměty na další práci:

- Uvažovat turbulentní model